

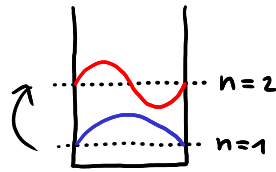
Nestacionární poruchová teorie

motivace: studium přechodů v kvantověmechanickém systému vyvolaných vnějšími vlivy

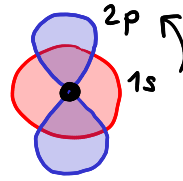
porušený Hamiltonián

$$\hat{H} = \hat{H}_0 + \hat{W}(t)$$

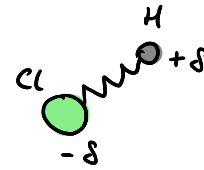
EM pole světelné vlny



kvant. jáma



atom vodíku



molekula HCl

$$n=1, l \neq 1$$

$$\uparrow$$

$$n=0, l$$

1) Obecný postup nestacionární poruchové teorie

• dynamika neporušeného systému

- neporušený systém popsán Hamiltoniánem \hat{H}_0 , jehož vlastní stavy známe: $\hat{H}_0 |n\rangle = E_n |n\rangle$

- časový vývoj obecného stavu bez poruchy $|\psi(t)\rangle = \sum_n c_n e^{-\frac{i}{\hbar} E_n t} |n\rangle$

$c_n = \langle n | \psi(t=0) \rangle$ - koeficienty rozkladu $|\psi\rangle$ v $t=0$ do báze vlastních stavů \hat{H}_0

• **porucha** je časově závislý přídavek do Hamiltoniánu $\hat{H}(t) = \hat{H}_0 + \hat{W}(t)$

speciální případy: 1) poruchu zapneme v čase $t=0$ a dále bude konstantní

$$\hat{W}(t) \rightarrow \hat{W} \theta(t) \quad \hat{W} \text{ konstantní, } \theta(t) = \begin{cases} 1 & t > 0 \\ 0 & t < 0 \end{cases}$$

2) porucha s harmonickým průběhem zapnuta v čase $t=0$

$$\hat{W}(t) \rightarrow (\hat{W} e^{-i\omega t} + \hat{W}^\dagger e^{i\omega t}) \theta(t) \quad \hat{W} \text{ konstantní}$$

• působení poruchy

- budeme se držet báze vlastních stavů \hat{H}_0 , c_n byly původně konstanty, vlivem poruchy

získají (slabou) časovou závislost $c_n \rightarrow c_n(t)$: $|\psi(t)\rangle = \sum_n c_n(t) e^{-\frac{i}{\hbar} E_n t} |n\rangle$

časová závislost c_n zachycuje přelevení/váhy / přechody mezi vlastními stavy \hat{H}_0

- dosazení do nestac. Sch. r. $i\hbar \frac{\partial}{\partial t} |\psi(t)\rangle = \hat{H} |\psi(t)\rangle$ a úpravy:

$$i\hbar \sum_n \left(\frac{dc_n}{dt} - \frac{i}{\hbar} E_n c_n \right) e^{-\frac{i}{\hbar} E_n t} |n\rangle = \sum_n c_n e^{-\frac{i}{\hbar} E_n t} (\hat{H}_0 + \hat{W}(t)) |n\rangle$$

kompenzace členů s $E_n |n\rangle$ a $\hat{H}_0 |n\rangle$

$$i\hbar \sum_n \frac{dc_n}{dt} e^{-\frac{i}{\hbar} E_n t} |n\rangle = \sum_n c_n e^{-\frac{i}{\hbar} E_n t} \hat{W}(t) |n\rangle \quad / \text{ aplikace } \langle m | \text{ na obě strany}$$

$$i\hbar \frac{dc_m}{dt} e^{-\frac{i}{\hbar} E_m t} = \sum_n c_n e^{-\frac{i}{\hbar} E_n t} \langle m | \hat{W}(t) |n\rangle \rightarrow \frac{dc_m}{dt} = \frac{1}{i\hbar} \sum_n e^{\frac{i}{\hbar} (E_m - E_n) t} \langle m | \hat{W}(t) |n\rangle c_n$$

Vzniklá soustava svázaných dif. rovnic je stále exaktní, poruchová teorie je založena na aproximaci c_n na pravé straně a vyřešení systému ODR, které poskytne přesnější koeficienty c_n

- odpovídá přidání jednoho řádku v poruchové řadě (uplatní se o jedno \hat{W} navíc)

• nestacionární / poruchová teorie 1. řádu

- poruchu zapneme v čase $t=0$, výchozím stavem v čase $t=0$ bude $|n\rangle$

(vlastní stav \hat{H}_0 s energií E_n) $\rightarrow c_m(0) = \delta_{mn}$

- na pravé straně ODR pro c_m použijeme aproximaci nultého řádu tj. konstantní c_n dané $t=0$

$$\frac{dc_m}{dt} = \frac{1}{i\hbar} \sum_{n'} e^{\frac{i}{\hbar}(E_m - E_{n'})t} \langle m | \hat{W}(t) | n' \rangle \delta_{n'n} = \frac{1}{i\hbar} \langle m | \hat{W}(t) | n \rangle e^{\frac{i}{\hbar}(E_m - E_n)t}$$

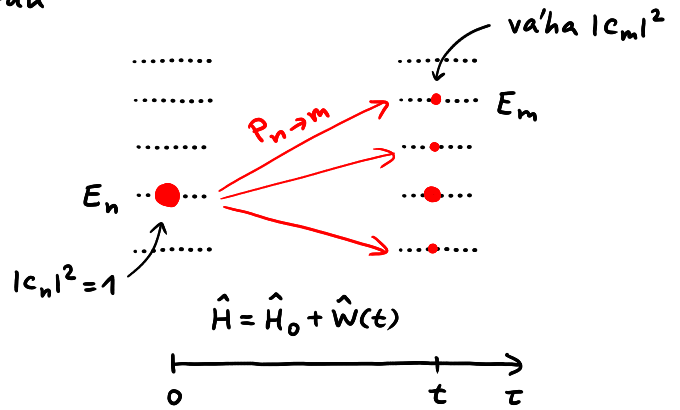
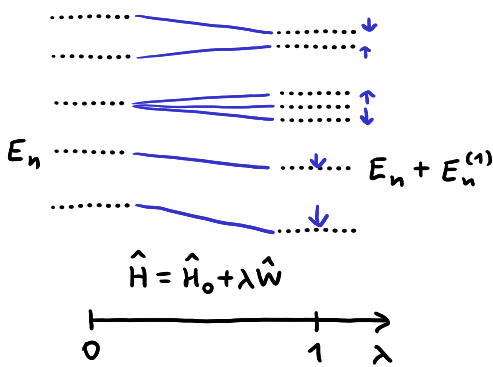
integraci získáme:
$$c_m(t) = \delta_{mn} - \frac{i}{\hbar} \int_0^t \langle m | \hat{W}(\tau) | n \rangle e^{\frac{i}{\hbar}(E_m - E_n)\tau} d\tau \quad (*)$$

- zajímavé jsou zejména $c_{m \neq n}(t)$, které udávají **pravděpodobnost přechodu**

$P_{n \rightarrow m}(t) = |c_m(t)|^2$ ze stavu $|n\rangle$ do stavu $|m\rangle$ pod vlivem poruchy $\hat{W}(t)$ zapnuté v $t=0$

- použitelné v případě, že se $c_m(t)$ jen málo odchyli od původních hodnot (slabá porucha)

• srovnání stacionární a nestacionární PT 1. řádu



korekce vlastních energií (posuvy a štěpení) narůstají při postupném zapínání poruchy až na její plnou sílu

přechody mezi vlastními stavy \hat{H}_0 podnětované poruchou, charakterizované časově závislými pravděpodobnostmi přechodu

2) Významné případy - porucha konstantní v čase a harmonická porucha

A) Konstantní porucha

• dosazení do rovnice (*): $\hat{W}(t) \rightarrow \hat{W}$ zapnutá v čase $t=0$

$$c_m(t) = \delta_{mn} - \frac{i}{\hbar} \int_0^t \langle m | \hat{W} | n \rangle e^{\frac{i}{\hbar}(E_m - E_n)\tau} d\tau = \delta_{mn} - \frac{i}{\hbar} W_{mn} \int_0^t e^{i\omega_{mn}\tau} d\tau =$$

$$= \delta_{mn} + \frac{1}{\hbar} W_{mn} \frac{1 - e^{i\omega_{mn}t}}{\omega_{mn}} = \delta_{mn} + \frac{1}{\hbar} W_{mn} F_1(\omega_{mn}, t)$$

označení: maticový element poruchy $W_{mn} = \langle m | \hat{W} | n \rangle$, frekvence přechodu $\omega_{mn} = \frac{1}{\hbar} (E_m - E_n)$

pomocná funkce
$$F_1(\omega, t) = \frac{1 - e^{i\omega t}}{\omega} = -2i \frac{\sin \frac{\omega t}{2}}{\omega} e^{i \frac{\omega t}{2}}$$

• pravděpodobnost přechodu $n \rightarrow m$ ($\neq n$)

$$P_{n \rightarrow m}(t) = |c_m(t)|^2 = \frac{1}{\hbar^2} |W_{mn}|^2 |F_1(\omega_{mn}, t)|^2 = \frac{1}{\hbar^2} |W_{mn}|^2 \frac{4 \sin^2 \frac{\omega_{mn} t}{2}}{\omega_{mn}^2}$$

• chování $|F_1|^2 = \frac{4 \sin^2 \frac{\omega t}{2}}{\omega^2}$ jako funkce ω pro velké t :

- dominantní úzký pik na $\omega = 0$ s šířkou $\sim \frac{1}{t}$

- plocha pod $|F_1|^2$: $\int_{-\infty}^{\infty} |F_1|^2 d\omega = 2\pi |t|$

→ $|F_1|^2$ se blíží $2\pi t \delta(\omega)$ pro $t \rightarrow \infty$

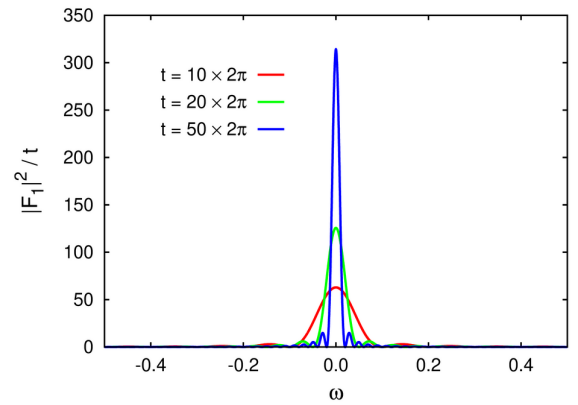
v limitě $t \rightarrow \infty$ ($t \gg$ perioda $2\pi/\omega_{mn}$) pak platí

$$P_{n \rightarrow m}(t) \approx t \frac{2\pi}{\hbar^2} |W_{mn}|^2 \delta(\omega_{mn}) \quad \delta\text{-funkce (ze upravit na } \delta(\omega_{mn}) = \hbar \delta(E_m - E_n))$$

→ pravděpodobnost přechodu za jednotku času:

$$\frac{dP_{n \rightarrow m}}{dt} \approx \frac{2\pi}{\hbar} |W_{mn}|^2 \delta(E_m - E_n) \quad \text{Fermiho zlaté pravidlo}$$

Pozn.: FZP pro konstantní poruchu je užitečné, pokud E_n leží v hustém kontinuu stavů (např. problém rozptylu elektronů v pevné látce)



B) Harmonická porucha

• dosazení do rovnice (*): $\hat{W}(t) \rightarrow \hat{W} e^{-i\omega t} + \hat{W}^\dagger e^{i\omega t}$ zapnutá v čase $t=0$

$$c_m(t) = \delta_{mn} - \frac{i}{\hbar} \int_0^t [\langle m | \hat{W} | n \rangle e^{\frac{i}{\hbar}(E_m - E_n - \hbar\omega)\tau} + \langle m | \hat{W}^\dagger | n \rangle e^{\frac{i}{\hbar}(E_m - E_n + \hbar\omega)\tau}] d\tau$$

$$= \delta_{mn} + \frac{1}{\hbar} \langle m | \hat{W} | n \rangle F_1(\omega_{mn} - \omega, t) + \frac{1}{\hbar} \langle m | \hat{W}^\dagger | n \rangle F_1(\omega_{mn} + \omega, t)$$

pro dlouhé časy t směřují F_1 opět k zachování energie

$$\left. \begin{array}{l} F_1(\omega_{mn} - \omega, t) \text{ vede na } E_m \approx E_n + \hbar\omega \\ F_1(\omega_{mn} + \omega, t) \text{ vede na } E_m + \hbar\omega \approx E_n \end{array} \right\} \text{ přijatý/odebraný „balíček“ energie } \hbar\omega$$

• v limitě $t \rightarrow \infty$ ($t \gg$ perioda $2\pi/\omega_{mn}$) vznikne další Fermiho zlaté pravidlo s δ -funkcemi:

zjednodušení: $\hat{W}^\dagger = \hat{W} \rightarrow c_m(t) = \delta_{mn} + \frac{1}{\hbar} W_{mn} F_2(\omega_{mn}, \omega, t)$

$$\frac{dP_{n \rightarrow m}}{dt} \approx \frac{2\pi}{\hbar^2} |W_{mn}|^2 [\delta(\omega_{mn} - \omega) + \delta(\omega_{mn} + \omega)] = \frac{2\pi}{\hbar} |W_{mn}|^2 [\delta(E_m - E_n - \hbar\omega) + \delta(E_m - E_n + \hbar\omega)]$$

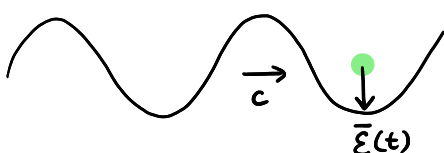
↑ pravděpodobnost přechodu $|n\rangle \rightarrow |m\rangle$ za jednotku času

• obě FZP mají stejnou strukturu

$$\frac{dP_{n \rightarrow m}}{dt} \sim |\text{matic. prvek poruchy mezi stavy } |n\rangle, |m\rangle|^2 \times (\delta\text{-funkce vyjadřující zachování energie)}$$

3) Přechody vyvolané EM vlnami, výběrová pravidla

• systém vystavený působení EM vlny s vlnovou délkou \gg velikost systému (např. atomu ●)



→ popíšeme jako systém v oscilujícím homogenním poli $\vec{E}(t)$, které přinese harmonickou poruchu $\hat{W} \sim \cos \omega t$ (magnetické působení je slabší faktorem v/c)

např. homog. pole $\mathcal{E} = \mathcal{E}_0 \cos \omega t$ ve směru osy x je popsáno elektrostat. potenciálem $\phi = -\mathcal{E}_0 x \cos \omega t$

$$\hat{W}(t) = e \mathcal{E}_0 \hat{x} \cos \omega t = \frac{1}{2} e \mathcal{E}_0 \hat{x} (\bar{e}^{i\omega t} + e^{i\omega t}) \rightarrow \text{v předchozím značení } \hat{W} = \hat{W}^\dagger = \frac{1}{2} e \mathcal{E}_0 \hat{x}$$

• působení oscilujícího el. pole vyhodnotíme pomocí FZP s výchozím stavem $|n\rangle$ v $t=0$, kdy přiletí vlna

$$\frac{dP_{n \rightarrow m}}{dt} \approx \frac{\pi}{2\hbar} (e \mathcal{E}_0)^2 |\langle m | \hat{x} | n \rangle|^2 [\delta(E_m - E_n - \hbar\omega) + \delta(E_m - E_n + \hbar\omega)]$$

dipólový maticový prvek
„zachování energie“

schematické znázornění
odpovídajících procesů:



absorpce EM záření

emise stimulována EM polem

Pozn.: bez QED nelze řadně

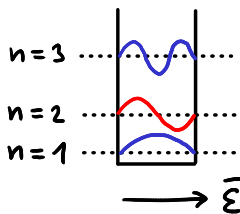
zachytit **spontánní emisi**

(vychází úměrně $\omega^3 |\langle m | \hat{x} | n \rangle|^2$)

(balíček energie $\hbar\omega$ je v jazyku kvantové elektrodynamiky QED přinesen/odnesen fotonem, tj. kvantem EM pole)

• dipólový matic. prvek má obecněji tvar $\langle m | \vec{\mathcal{E}} \cdot \hat{r} | n \rangle$ - pro lineárně polariz. vlnu s polarizací danou jednotkovým vektorem $\vec{\mathcal{E}}$, $|\langle m | \vec{\mathcal{E}} \cdot \hat{r} | n \rangle|^2$ pak rozhoduje o intenzitě přechodu a často je kvůli symetrii stavů nulový \rightarrow **výběrová pravidla** pro dipólové přechody

Př. dipólové přechody v nekonečně hluboké **kvantové jámě**



elektrické pole ve směru osy x : $W_{mn} \sim \langle m | \hat{x} | n \rangle = \int_{-a}^{+a} \Psi_m^*(x) x \Psi_n(x) dx$

\rightarrow možné dipólové přechody jen mezi n a m s **odlišnou paritou** (výběrové pravidlo)

ilustrace: numericky určená $\psi(x,t)$, výchozí stav $\Psi_n(x)$

doplňek: pravděpodobnost přechodu pro rezonanční případ $\Delta\omega = \omega_{mn} - \omega \rightarrow 0$

$$P_{n \rightarrow m}(t) \approx \frac{1}{\hbar^2} |W_{mn}|^2 |F_1(\Delta\omega, t)|^2 \sim t^2, \text{ protože } F_1(\Delta\omega, t) = \frac{1 - e^{i\Delta\omega t}}{\Delta\omega} \approx \frac{-i\Delta\omega t}{\Delta\omega} = -it$$

• systémy se **sférickou symetrií**

- vlastní stavy tvaru $\Psi_{nlm}(r, \vartheta, \varphi) = R_{nl}(r) Y_{lm}(\vartheta, \varphi)$

- vyšetříme dipólový matic. element pro polarizaci $\parallel z$, výchozí stav $|nlm\rangle$ a finální stav $|n'l'm'\rangle$

$$W \sim \langle n'l'm' | \hat{z} | nlm \rangle \sim \int_0^\infty dr r^2 \int_0^\pi d\vartheta \sin\vartheta \int_0^{2\pi} d\varphi R_{n'l'}(r) Y_{l'm'}^*(\vartheta, \varphi) z R_{nl}(r) Y_{lm}(\vartheta, \varphi)$$

$$\sim \int_0^\infty dr r^2 R_{n'l'}(r) r R_{nl}(r) \int_0^\pi d\vartheta \sin\vartheta \int_0^{2\pi} d\varphi Y_{l'm'}^*(\vartheta, \varphi) Y_{10}(\vartheta, \varphi) Y_{lm}(\vartheta, \varphi)$$

$z = r \cos\vartheta \sim r Y_{10}(\vartheta, \varphi)$

univerzální úhlový integrál - **nenulový jen pro $l' = l \pm 1$ a $m' = m$** \rightarrow výběrová pravidla

Př. dipólové přechody v atomu vodíku a složitějších atomech

$l=0$ s-orbitaly, $l=1$ p-orbitaly, $l=2$ d-orbitaly, $l=3$ f-orbitaly
 v důsledku výb. pravidla $l' = l \pm 1$ jsou možné jen přechody $s \leftrightarrow p$, $p \leftrightarrow d$, $d \leftrightarrow f \dots$
 ilustrace: Grotrianovy diagramy

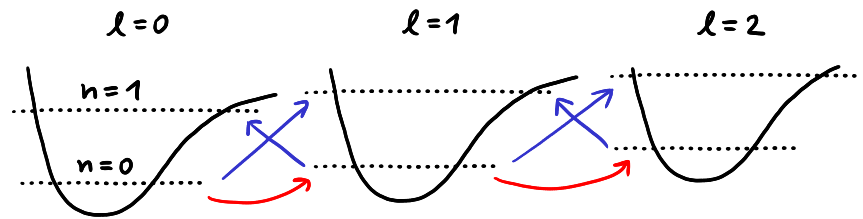
Př. rotačně-vibrační spektrum HCl

efektivní potenciál pro radiační Sch. rovnici - meziiontová interakce + odstředivý příspěvek \hat{L}^2

$$V_{\text{eff}}(r) = V(r) + \frac{\hbar^2 l(l+1)}{2\mu r^2}$$

$$\rightarrow E_{nl} \approx E_0 + \hbar\omega_0(n + \frac{1}{2}) + \frac{\hbar^2 l(l+1)}{2\mu r_0^2}$$

vibrace rotace



výběrové pravidlo: změna l na $l \pm 1$
 hlavní IR absorpce: zvětšení n na $n+1$

čistě rotační přechody (\rightarrow) - mikrovlnná oblast
 rotačně-vibrační přechody (\rightarrow) - infračervená oblast

soubor molekul v rovnováze na teplotě T

$$\rightarrow \text{pravděpodobnost obsazení výchozího stavu } |nlm\rangle \text{ s energií } E_{nl} \text{ je } P_{\text{therm}}(E_{nl}) = \frac{1}{Z} e^{-\frac{E_{nl}}{k_B T}}$$

výsledek: IR spektrum tvořené absorpčními píky na pozicích $\hbar\omega = E_{n+1, l \pm 1} - E_{nl}$

a s intenzitami $I \sim |\langle n+1, l \pm 1, m | \hat{\epsilon} \cdot \hat{r} | nlm \rangle|^2 P_{\text{therm}}(E_{nl})$

ilustrace: IR spektrum vč. izotopového jevu získané numerickým řešením radiační Sch. r.

Doplňek - kvantitativní souvislost mezi stac. a nestac. PT 1. řádu

a) korekce stavu $|n\rangle$ v 1. řádu stacionární PT: $|n\rangle \rightarrow |n\rangle - \sum_{m \neq n} |m\rangle \frac{\langle m|\hat{W}|n\rangle}{E_m - E_n}$

b) tatož kombinace stavů se objeví v 1. řádu nestac. PT při pozvolném zapínání poruchy na dlouhém časovém intervalu, např. použitím $\hat{W}(t) \rightarrow \hat{W} e^{\Lambda t}$ s $\Lambda \rightarrow 0^+$ na intervalu $t \in (-\infty, 0)$, v $t = -\infty$ začneme s $|n\rangle$ a v čase $t = 0$ najdeme opravený stav:

$$c_m(-\infty) = \delta_{mn} \rightarrow c_{m \neq n}(0) = -\frac{i}{\hbar} \int_{-\infty}^0 \langle m|\hat{W}|n\rangle e^{\Lambda \tau} e^{\frac{i}{\hbar}(E_m - E_n)\tau} d\tau = -\frac{\langle m|\hat{W}|n\rangle}{E_m - E_n - i\hbar\Lambda} \rightarrow 0$$

předpokládejme $W_{nn} = 0$, posbíraním příspěvků pro $m \neq n$ pak získáme pro stav v $t = 0$ výraz

$$|n\rangle + \sum_{m \neq n} -\frac{\langle m|\hat{W}|n\rangle}{E_m - E_n} |m\rangle \text{ shodný se stacionární PT 1. řádu}$$

místo $e^{\Lambda t}$ lze použít libovolnou pozvolnou funkci $f(t)$ s $f(-\infty) = 0$ a $f(t=0)$, protože pro

$$\text{libovolnou pozvolnou funkci } f(t) \text{ je } \int_{-\infty}^0 e^{i\omega t} f(t) dt = \frac{1}{i\omega} [f(0) - f(-\infty)]$$

Pozn.: V případě $W_{nn} \neq 0$ je třeba postupovat obezřetněji a zahrnout pozvolné změny fáze $c_n(t) \approx e^{i\varphi(t)}$, do které vstoupí posun ΔE_n hladiny E_n způsobený poruchou.

Výsledné koeficienty $c_{m \neq n}$ vyjdou stejně a z $\varphi(t)$ se dá určit $\Delta E_n = W_{nn}$.

Shoda s 1. řádem stacionární PT tak bude dokonalá!